

PR 214

---

**PROJET THÉMATIQUE**  
**CONCEPTION D'UN MODULE EN VHDL POUR LA GESTION**  
**D'UN PMOD OLEDRGB DIGILENT SUR FPGA**

---



ENSEIRB-MATMECA

Bordeaux - Talence

## Table des matières

<b>Table des figures</b>	<b>2</b>
<b>0 Introduction</b>	<b>4</b>
0.1 Segmentation et déroulement du projet . . . . .	4
<b>1 Pmod OLEDrgb</b>	<b>5</b>
<b>2 Fonctionnement du Pmod OLEDrgb</b>	<b>6</b>
2.1 Liaison UART et outils . . . . .	6
2.2 Séquence d'initialisation . . . . .	6
2.3 Envoi de données . . . . .	8
<b>3 Module de gestion du Pmod OLEDrgb</b>	<b>9</b>
3.1 Module de transmission de données destinées à un protocole d'envoi SPI . . . . .	9
3.1.1 Principe de fonctionnement du module . . . . .	9
3.1.2 Description et fonctionnement technique . . . . .	10
3.2 Contrôle d'envoi de commandes et de données . . . . .	11
3.2.1 Principe de fonctionnement de la machine d'état . . . . .	11
3.2.2 Description de la machine d'état . . . . .	13
<b>4 Conclusion</b>	<b>17</b>
<b>Références</b>	<b>18</b>

## Table des figures

1	Le Pmod OLEDrgb de Digilent utilisé dans ce projet . . . . .	5
2	Table de correspondance des pins du Pmod OLEDrgb [3] . . . . .	5
3	Chronogramme simplifié du fonctionnement du protocole SPI [4] . . . . .	9
4	Chronogramme du module SPI_controller . . . . .	11
5	FSM du module de contrôle du Pmod OLEDrgb . . . . .	12
6	Chronogramme représentant le rôle de <code>flag_en</code> . . . . .	14
7	Évolution de <code>data_out</code> en fonction des différents paramètres . . . . .	14
8	Chronogramme représentant l'ensemble de la séquence synthétisée . . . . .	14
9	Zoom sur l'envoi des commandes d'initialisation . . . . .	15

10	Zoom sur la première commande d'initialisation . . . . .	15
11	Schematic du module de contrôle du PMOD OLEDrgb . . . . .	16

## 0 Introduction

Au cours de ce projet, un objectif clair nous a été fixé : afficher une image sur un écran OLED couleur d'une résolution 96 x 64, connecté sur une carte Nexys4 de Digilent. Cet écran est monté sur un Pmod (extensions de cartes d'interfaces Entrées/Sorties de chez Digilent). Le cœur du projet est de comprendre comment le Pmod communique avec la carte Nexys4 et de lui envoyer les informations nécessaires à son fonctionnement, telle que la séquence de commandes initialisation de l'écran ou les données de l'image que l'on souhaite afficher.

### 0.1 Segmentation et déroulement du projet

Le projet a donc été séparé en plusieurs parties.

D'abord, l'étude du composant et de sa datasheet. En effet, le Pmod de Digilent possède sa propre datasheet, mais sur celui-ci est monté un contrôleur spécifique à l'écran OLED : le SSD1331. Il a donc été nécessaire d'appréhender comment celui-ci fonctionnait.

Ensuite, nous avons élaboré un programme d'initialisation et d'utilisation de l'écran. Un microprocesseur basique a été implémenté sur FPGA, nous compilons des programmes écrit en langage C, et nous testons le Pmod de cette façon. Ainsi, en se basant sur ce qu'on a appris des datasheet, nous avons mis au point une séquence de commandes pour initialiser l'écran et pour lui envoyer, via la liaison UART de la carte Nexys4 les données bitmap de l'image. Le but de ces programmes est avant tout de comprendre ce qui doit être décrit en VHDL pour le module de gestion de notre écran OLEDrgb, et ils ne constituent pas notre produit fini.

Enfin, nous avons développé notre module de gestion du Pmod en VHDL. L'environnement de travail choisi est Vivado de Xilinx. En appliquant une ingénierie inverse aux programmes C développés en amont, une architecture précise a été définie, et la conception de tous les blocs composant notre module ont été écrits.

En pratique, l'étude de la datasheet a été un travail permanent, et a donc été faite en parallèle au développement de nos programmes C et de nos descriptions VHDL. Les points de fonctionnement de nos composant qui semblent pour certains relativement simples en apparence mais nous ont posé problème tout de même quand nous avançons dans nos études. A chaque problème de la sorte, il a fallu revoir les points concernés de la datasheet à plusieurs reprises. Pour les problèmes plus complexes, comme la gestion de la communication entre la carte et le Pmod, la datasheet a été d'une grande aide.

## 1 Pmod OLEDrgb

Un Pmod est un périphérique ou extension destinée à être utilisé avec des cartes programmables telles que la Nexys4 de Digilent que nous utilisons dans ce projet. Le Pmod sur lequel notre travail se concentre ici est l'OLEDrgb, un écran OLED (Organic Light-Emitting Diode) [1] d'une résolution de 96 x 64 pixels capable d'afficher 65k couleurs.

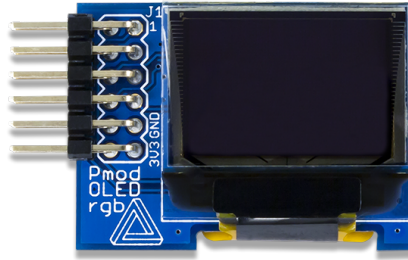


FIGURE 1 – Le Pmod OLEDrgb de Digilent utilisé dans ce projet

Pour communiquer avec la carte mère, ce périphérique utilise le protocole SPI (Serial Peripheral Interface Bus). Avec ce protocole, on peut envoyer par paquet les informations et commandes nécessaires au fonctionnement de notre écran OLED. Un contrôleur Solomon Systech SSD1331 [2] est employé pour communiquer entre le Pmod support et le composant de l'écran. Grâce à celui-ci, les commandes envoyées sont exploitées et traitées. De plus, lorsque ce contrôleur reçoit des informations, il les stocke dans la RAM de l'écran. Ce contrôleur possède tout un panel de commandes qui permettent d'interagir avec l'écran. (i.e. dessiner un rectangle, un pixel, etc.)

Ce Pmod à un connecteur 12 broches qui se branche sur la carte principale :

Header J1					
Pin	Signal	Description	Pin	Signal	Description
1	CS	Chip Select	7	D/C	Data/Command Control
2	MOSI	Master-Out-Slave-In	8	RES	Power Reset
3	NC	Not Connected	9	VCCEN	Vcc Enable
4	SCK	Serial Clock	10	PMODEN	Vdd Logic Voltage Control
5	GND	Power Supply Ground	11	GND	Power Supply Ground
6	VCC	Power Supply (3.3V)	12	VCC	Power Supply (3.3V)

FIGURE 2 – Table de correspondance des pins du Pmod OLEDrgb [3]

## 2 Fonctionnement du Pmod OLEDrgb

### 2.1 Liaison UART et outils

Tout d'abord, avant de commencer à envoyer des commandes au contrôleur de l'écran OLED, il faut pouvoir communiquer avec le "processeur" implémenté sur la carte. Une fois cette communication établie, nous pouvons envoyer un programme compilé dans la mémoire du processeur, et donc envoyer des commandes à l'écran via l'interface SPI.

Ainsi, nous employons la liaison UART disponible sur la carte Nexys4 comme bus de communication. Les informations envoyées par cette liaison sont ensuite gérées par le processeur implémenté sur le FPGA. Quand à l'interface côté utilisateur, nous utilisons le logiciel Tera Term (Windows) ou CoolTerm (macOS) pour communiquer avec le port série correspondant à la liaison UART établie.

Une fois cette communication possible, il s'agit d'écrire un programme en langage C qui permette dans un premier temps de lancer la séquence d'initialisation de l'écran, puis dans un second temps de lui envoyer une image bitmap.

Pour ce faire, le compilateur xc8 est utilisé. Pour compiler correctement le programme pour notre processeur programmé sur FPGA, nous utilisons les arguments suivants :

```
xc8 -chip=16F636 -m -opt=all -g <NOM SOURCES>
```

---

**REMARQUE :** Vis à vis du compilateur xc8, le microprocesseur cible est un 16F636. En réalité, notre cible n'est pas un 16F636, mais un processeur programmé sur FPGA qui ressemble à un processeur 16F636 simplifié.

---

### 2.2 Séquence d'initialisation

Pour initialiser l'écran correctement, une séquence d'initialisation précise est nécessaire. Pour se renseigner sur la séquence d'initialisation, deux documents sont utiles.

Le premier est le manuel du Pmod OLEDrgb[3]. Celui-ci renseigne une séquence d'initialisation type. Cette séquence est la base de notre étude sur l'initialisation.

Le deuxième est la datasheet du contrôleur SSD1331[2]. Cette datasheet renseigne tout le jeu de commandes possibles. Ces informations sont très utiles car la séquence d'initialisation décrite par Digilent n'est

pas complète et des commandes supplémentaires ont du être ajouté à celle-ci. Pour comprendre les commandes dictées par le manuel du Pmod OLEDrgb et pour savoir quelles modifications apporter ou quelles commandes supplémentaires ajouter, le jeu de commandes est essentiel.

En C, certaines définitions de constantes et quelques fonctions sont déjà codées dans le but d'envoyer et recevoir des commandes ou des données avec le SPI. Nous nous servirions de ces ressources pour développer notre séquence d'initialisation.

1. La première chose à faire dans la séquence d'initialisation est d'affecter le masque `OLED_SPI_SELECT` au registre `OLED_SPI_STATUS`. Ce masque contient deux informations : La vitesse de l'horloge liée au SPI, puis à l'aide d'un "OU" l'octet `0x01`. Le bit de poids faible est en réalité lié au "Chip Select" (CS, pin 1, c.f. Figure 2) du Pmod. Si on souhaite communiquer avec le contrôleur via la connectique de la carte Nexys4 et du Pmod, il faut relever le Chip Select. Ainsi, avec cette commande, nous avons défini la valeur de l'horloge du Pmod et la valeur du Chip Select.
2. Il faut ensuite abaisser le bit de "Data/Commande Control" (DC, pin 7).
3. On set le bit de "Power Reset" (RES, pin 8).
4. On empêche l'alimentation de l'écran - et seulement l'écran - en mettant à 0 le bit VCCEN ("Vcc Enable", pin 9).
5. On met à 1 le bit PMODEN ("Vdd Logic Voltage Control", pin 10) pour autoriser l'alimentation du Pmod entier. Il faut ensuite faire une temporisation pour attendre que le niveau haut de 3.3V soit bien atteint. La documentation de Digilent conseille 20ms d'attente. Nous avons choisi une temporisation de 100ms.

---

**REMARQUE :** Dans notre projet, pour cette temporisation ainsi que les suivantes, nous avons souhaité majorer ces valeurs pour s'assurer d'un bon fonctionnement de l'initialisation. Optimiser ces temps est possible, et est une amélioration de ce projet envisageable.

---

6. On clear puis on set le bit RES avec une temporisation de  $15\mu s$  entre les deux actions. Cette opération a pour but de mettre à zéro le contrôleur SSD1331 de l'écran. Ensuite, il faut de nouveau attendre  $15\mu s$  pour attendre que l'opération en question se termine. À partir de ce point, nous pouvons envoyer des commandes au contrôleur via le bus SPI et donc commencer à le configurer.
7. La première commande à envoyer est le déverrouillage de la réception des commandes. On envoie donc 2 octets : `0xFD` et `0x12`. Grâce à cette opération, le contrôleur va pouvoir traiter les autres

commandes que nous allons lui envoyer. Quand le contrôleur est verrouillé, cette commande est la seule qui peut être interprétée.

8. On met l'écran en veille le temps de l'initialisation : `0xAE`
9. Ici, on va définir le format de l'image à afficher et des données liées à l'image. La commande varie en fonction de plusieurs paramètres. Il faut d'abord envoyer la commande `0xA0`. Le second octet règle les paramètres.

D'après la datasheet :

- Les deux bits de poids fort gèrent le format de couleur des données de l'image, c'est-à-dire comment sont codées les couleurs pour un pixel. Nous avons choisi d'utiliser le format de couleur 65k numéro 1. Ces deux bits sont donc égaux à `0b01`

On choisit l'orientation de l'écran. Sur la carte Nexys4, le Pmod OLEDrgb peut être branché à droite ou à gauche. Ce choix est enregistré dans un `#define` dans le header `def.h`. On a donc deux cas :

L'écran est branché à droite de la carte. L'orientation est donc "classique", c'est à dire l'orientation où le haut de l'écran correspond avec le haut du Pmod.

## 2.3 Envoi de données



### 3 Module de gestion du Pmod OLEDrgb

Une fois les différentes séquences de commandes mises en place, nous sommes passé à la description en langage VHDL du module de gestion de l'écran OLED. Ce développement s'est scindé en la description de quatre modules :

- **SPI\_controller** : Ce module génère l'ensemble des signaux nécessaires à la transmission d'informations par le biais du protocole SPI.
- **MEM\_init** : Cette source est une ROM contenant les commandes d'initialisations du microcontrôleur.
- **RAM** : Cette RAM contient les données de l'image à afficher sur l'écran, elle est à l'image de la RAM présente dans le microcontrôleur. Cependant elle a été décrite avec deux accès pour permettre son utilisation par un utilisateur extérieur.
- **FSM** : Cette machine d'état conditionne l'envoi des données d'initialisation stockées dans la ROM vers le module SPI, puis celui de l'image stockée dans la RAM.

Les deux mémoires présentées plus haut sont toutes deux composées de données sur 16 bits. Ce format a été choisi car il correspond, pour la RAM, au format de données pour un pixel de l'écran. La RAM est combinatoire en lecture et séquentielle pour l'écriture. L'implémentation de deux horloges distinctes, même si elles sont toutes deux reliées à la même horloge de fonctionnement de la carte, a été nécessaire à la synthèse d'une RAM à double entrée. La ROM quant à elle est purement combinatoire.

#### 3.1 Module de transmission de données destinées à un protocole d'envoi SPI

##### 3.1.1 Principe de fonctionnement du module

Le protocole de communication SPI permet la transmission de bus de données de 8 bits par le signal MOSI (Master Out Slave In), c'est le signal d'horloge `sclk` qui permet la lecture des différents bits du MOSI. En effet, c'est le déclenchement de huit périodes d'horloge qui permet au contrôleur de détecter l'envoi de données. Le protocole SPI possède également une entrée de contrôle **CS** (Chip Select) et un signal de retour MISO (Master In Slave Out). L'ensemble des signaux sont représentés dans la figure suivante, représentant la caractéristique simplifiée d'un envoi de données par SPI.

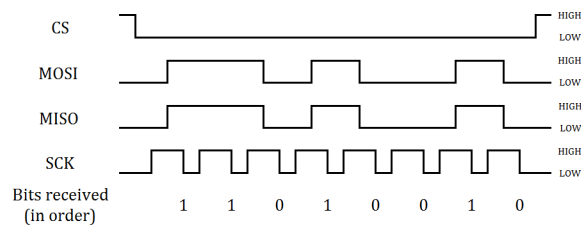


FIGURE 3 – Chronogramme simplifié du fonctionnement du protocole SPI [4]

Dans le cas du microcontrôleur SSD1331, la lecture des bits de données est faite sur front montant de `sclk`. Nous avons pu également tester, lors de notre phase de recherche, qu'aucun passage à l'état logique haut n'était nécessaire pour l'entrée `CS` entre deux envois de données. Enfin, c'est le bit de poids fort qui est envoyé en premier au contrôleur lors de la transmission d'un octet. À l'aide de l'ensemble des ces informations nous avons pu décrire le module explicité plus haut.

La source prend en entrée les signaux `clk` et `reset` communs à tous bloc séquentiels, la donnée d'entrée sur 8 bits, ainsi qu'un signal logique d'activation qui dure une période d'horloge. En sortie, sont générés les signaux nécessaires à la communication en SPI, ainsi qu'un signal logique `busy` qui permettra par la suite de temporiser l'envoi de données.

D'après la datasheet du microcontrôleur, la fréquence de fonctionnement du module SPI ne doit pas dépasser les 6 MHz.

$$\begin{aligned} f_{max} &= 6 \text{ Mhz} \\ \Rightarrow T_{min} &= \frac{1}{6} \mu s \\ \Rightarrow T_{haut_{min}} &= \frac{1}{12} \mu s \sim 83.33 \text{ ns} \end{aligned}$$

Nous avons donc choisi, le premier entier paire, afin d'avoir un signal `sclk` de rapport cyclique 0.5, satisfaisant la condition précédente, comme facteur de division de la fréquence de fonctionnement principale. La fréquence de fonctionnement de la carte NEXYS4 étant 100 Mhz, l'entier choisit est donc 18.

### 3.1.2 Description et fonctionnement technique

La description se subdivise en plusieurs processus séquentiels qui génèrent chacun une sortie du module en fonction des entrées.

- **sclk** : À chaque détection d'un signal d'*enable*, huit périodes d'horloge, d'une fréquence de 100/18 Mhz, sont générés par le biais de deux compteurs. Le premier, `cpt_sclk`, est majoré par la constante définie plus haut et impose la fréquence de `sclk`. Le second, `cpt_octet`, dénombre le nombre de coup d'horloge déjà générés, il est donc majoré par 8. Cette horloge permettra de séquencer l'envoi successif des 8 bits de données. Le niveau de repos de l'horloge devant être reçu par le microcontrôleur étant le niveau haut et la lecture du bit de donnée étant effectuée sur front montant de l'horloge, il nous faut envoyer, en sortie du module, l'inverse du signal ainsi généré.
- **SPI\_busy** : Le signal d'occupation reste au niveau haut durant les huit périodes "actives" de `sclk`, le reste du temps il est maintenu à 0.

- **MOSI** : À chaque détection d'un signal d'*enable*, la donnée d'entrée est sauvegardée dans une registre à décalage. Ce registre à décalage est incrémenté à chaque front montant de `sclk` et c'est sa valeur qui est lue afin de mettre à jour le signal de sortie. Dans la source `SPI_controller.vhd`, le dernier processus, qui permet l'actualisation du signal **MOSI**, a été décrit de façon séquentielle. Le signal `sdata_in` étant déjà séquentiel et le signal de sortie seulement lu lors de l'activation de `sclk`, le processus aurait pu être décrit de manière combinatoire. Cependant, la fréquence de fonctionnement du SPI étant très faible devant celle de la carte, ce choix n'a très peu d'impact sur l'optimisation du temps de transmission et aucun sur le bon fonctionnement du module.

Une fois la description terminée, nous avons pu déboguer le code à l'aide de l'outil de simulation de Vivado, duquel est tiré le chronogramme présent en figure X, représentant le fonctionnement du module.

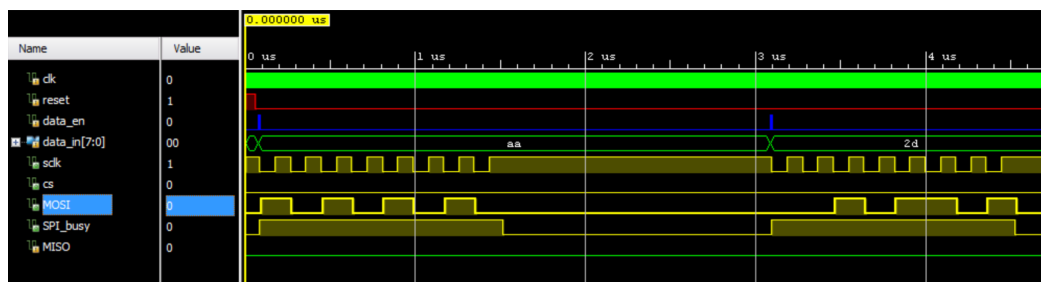


FIGURE 4 – Chronogramme du module `SPI_controller`

## 3.2 Contrôle d'envoi de commandes et de données

### 3.2.1 Principe de fonctionnement de la machine d'état

Une fois le module de communication SPI terminé, nous nous sommes penché sur la machine d'état qui aura pour rôle d'ordonnancer les différentes étapes du processus d'initialisation, puis l'envoi des données de l'image. En effet, la séquence d'initialisation déterminée plus tôt peut être subdivisée en plusieurs étapes successives :

- Le changement d'état des différents pins de contrôles du Pmod (`DC`, `RES`, `VCCEN` et `PMODEN`), séparé ou non par des temporisations. Ces étapes occuperont les états 1 à 6, puis 10 de la machine d'état.
- Une séquence d'envoi de commandes par le biais du protocole SPI. Ces commandes, au nombre de quarante-quatre, sont stockées dans la mémoire évoquée plus haut.
- Et enfin la commande d'allumage de l'écran qui est la dernière étape de l'initialisation.

Nous avons ensuite fait le choix de faire suivre l'initialisation par un tracé de rectangle en utilisant les différentes commandes du microcontrôleur, afin de vérifier le bon fonctionnement de la séquence précédente. En effet, la RAM du Pmod étant nettoyée par nos précédentes utilisations, nous n'avons aucun retour visuel

de l'allumage de l'écran.

Enfin, la dernière étape consiste à venir chercher les données de l'image de la RAM de notre module vers celle du contrôleur. La figure X illustre la machine d'état ainsi mise en place, dans un schéma simplifié, sans les différentes conditions de changement d'état.

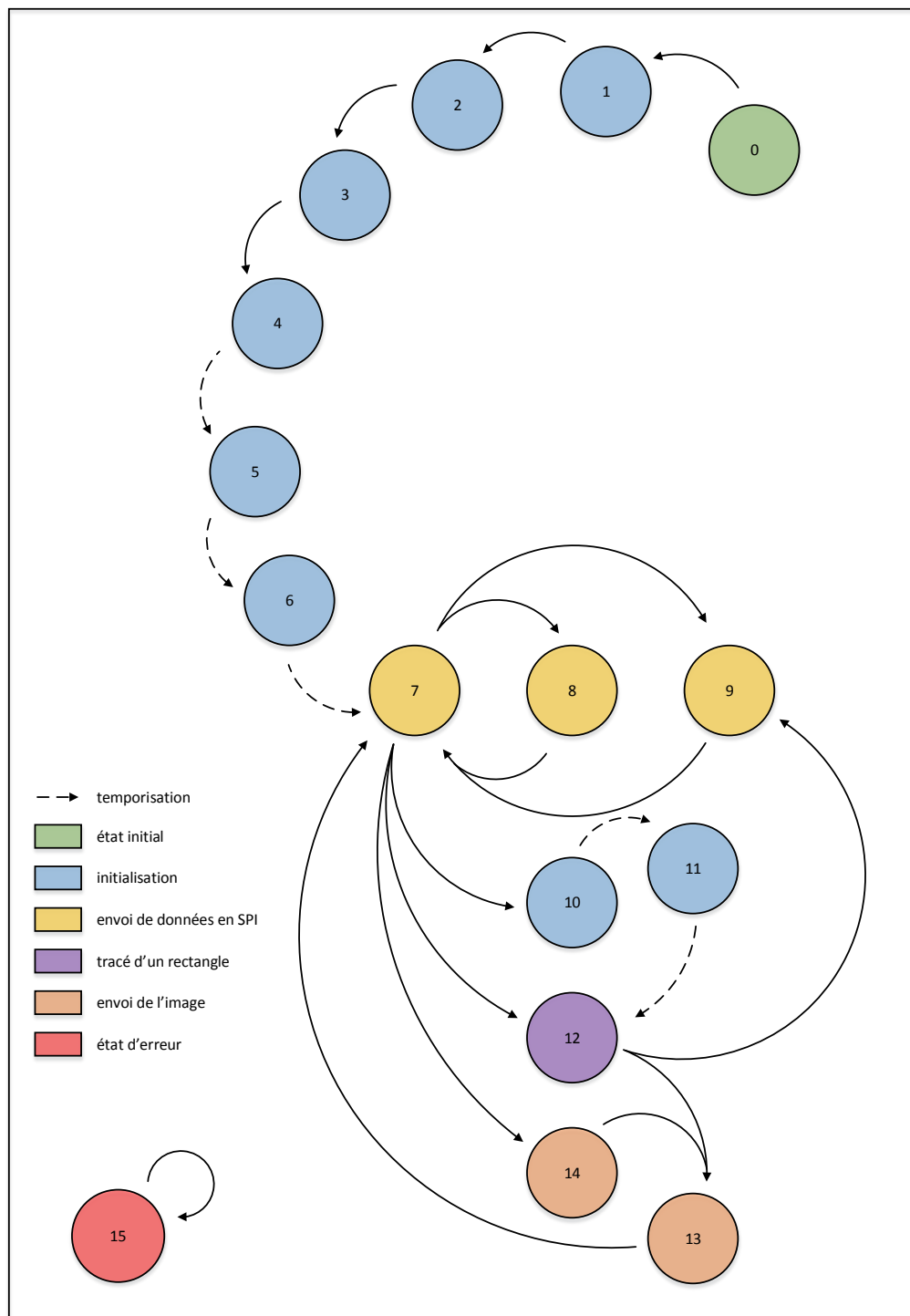


FIGURE 5 – FSM du module de contrôle du Pmod OLEDrgb

### 3.2.2 Description de la machine d'état

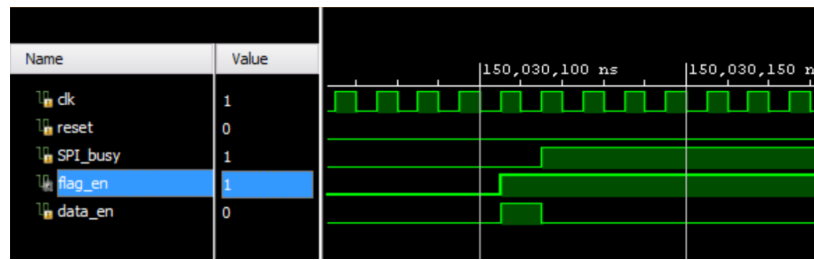
La machine d'état est composée d'un processus séquentiel qui détermine l'état présent et d'un processus combinatoire qui détermine l'état futur en fonction de l'état présent, des entrées du module et d'un ensemble de signaux internes à la source. L'ensemble des processus qui suivent les deux premiers, sont destinés à générer l'ensemble des signaux de sorties et internes de la FSM, c'est sur ces derniers que nous allons nous pencher.

#### → Les compteurs

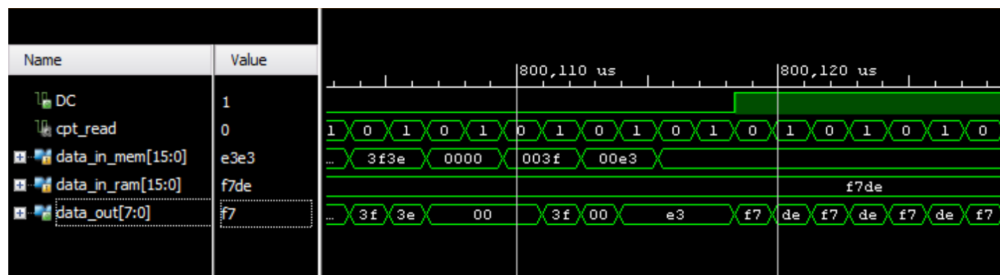
- **Les temporisations** : Afin de satisfaire les différentes temporisations nécessaires à la séquence d'initialisation, nous avons synthétisé trois compteurs permettant la modélisation de trois temporisations d'une durée de 500 ms, 150 ms et 15  $\mu$ s. Trois processus permettent donc d'incrémenter les différents compteurs dans les états correspondants. Ces derniers ne peuvent être quittés seulement lorsque le compteur atteint sa valeur maximale. Tout come pour la synthèse de `sclk`, la valeur maximale des compteurs est déterminée grâce à la fréquence de fonctionnement de la carte NEXYS 4.
- **Les indices de lecture** : L'état numéro 7 de la machine d'état correspond au temps d'occupation du module lors de l'envoi d'un octet en SPI. Entre deux envois de données et donc deux passages à l'état 7, on vient incrémenter l'indice de lecture de la mémoire en cours de lecture, c'est l'état 9 qui se charge de cela. L'état 8 quant à lui, permet l'incrémentation d'un compteur modulo 2 qui désigne successivement les deux octets compris dans une case mémoire. Ainsi, trois processus incrémentent respectivement les compteurs `read_idx_mem`, `read_idx_ram` et `cpt_read`. À noter que le compteur `read_idx_mem` possède deux valeurs d'arrêt, puisqu'une partie la mémoire est utilisée pour stocker les commandes d'initialisation et une autre pour les commandes de tracé de rectangle. Ces commandes peuvent d'ailleurs être inhibées dans le code vhdl car inutiles à l'initialisation.

#### → Les signaux de sortie

- **Vers le Pmod** : Les processus qui suivent ont pour rôle de *set* ou *reset* les signaux de contrôle du Pmod DC, RES, VCCEN et PMODEN, en fonction de l'état présent.
- **Vers le module SPI** : Enfin, les trois derniers processus permettent la bon fonctionnement du module SPI. En effet l'un d'eux génère le signal `data_en` nécessaire à la transmission de donnée par le module SPI, ce signal est conditionné selon un signal `flag_en` synthétisé juste avant. Ce dernier est presque à l'image du signal `SPI_busy`, cependant il passe au niveau haut un coup d'horloge avant `SPI_busy`, ce qui permet à `data_en` d'être au niveau haut seulement pendant une période d'horloge. Comme l'illustre la figure X.

FIGURE 6 – Chronogramme représentant le rôle de `flag_en`

Le dernier processus est un processus combinatoire, qui, en fonction de `DC` et `cpt_read`, vient relier la sortie de la FSM et donc l'entrée du module SPI, au bon octet de la ROM ou de la RAM. Ce fonctionnement est illustré dans la figure qui suit.

FIGURE 7 – Évolution de `data_out` en fonction des différents paramètres

On peut voir que, dès que l'envoi de commandes passe en envoi de données, la sortie est reliée à la RAM et non plus à la ROM. Les deux octets de chaque case mémoire sont bien lus grâce au changement d'état de `cpt_read`.

Une fois l'ensemble des composants décrits, nous avons pu les instancier et ainsi simuler le fonctionnement globale du module de gestion de l'écran.

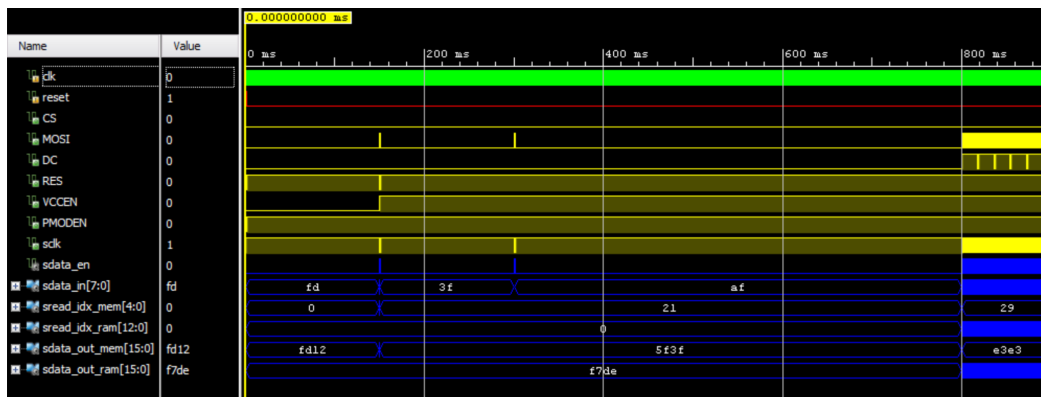


FIGURE 8 – Chronogramme représentant l'ensemble de la séquence synthétisée

Sur la figure précédente on peut voir au niveau du signal **MOSI** les différentes étapes d'initialisation. Après environ 150 ms nécessaire à la prise en compte des commutations des signaux de commandes, au premier pic se trouve l'envoi des commandes d'initialiation via le protocole SPI. Ensuite, après de nouveau environ 150 ms, se trouve le second pic qui correspond à la commandes d'allumage. Enfin, après un temps d'attente de 500 ms, on peut relever un travail continu au niveau du signal **MOSI**, il s'agit de l'envoi des commandes de tracé du rectangle, puis le rafraichissement continu de l'écran.

Dans les deux figures qui suivent, qui sont un zoom de la précédente, on peut mieux se rendre compte du protocole d'envoi des commandes durant l'initialisation et ainsi vérifier son fonctionnement.

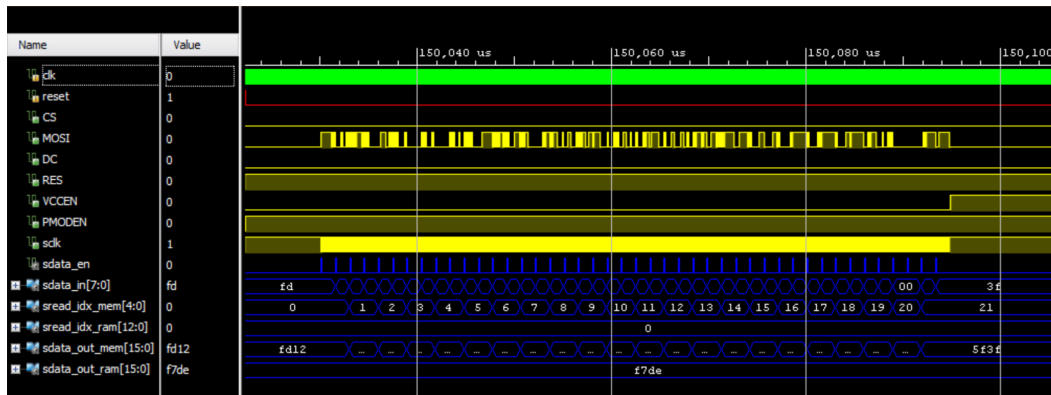


FIGURE 9 – Zoom sur l'envoi des commandes d'initialisation

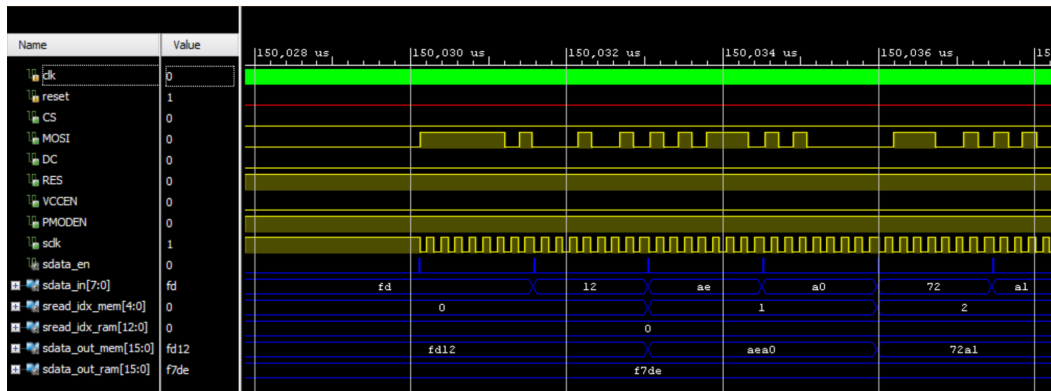


FIGURE 10 – Zoom sur la première commande d'initialisation

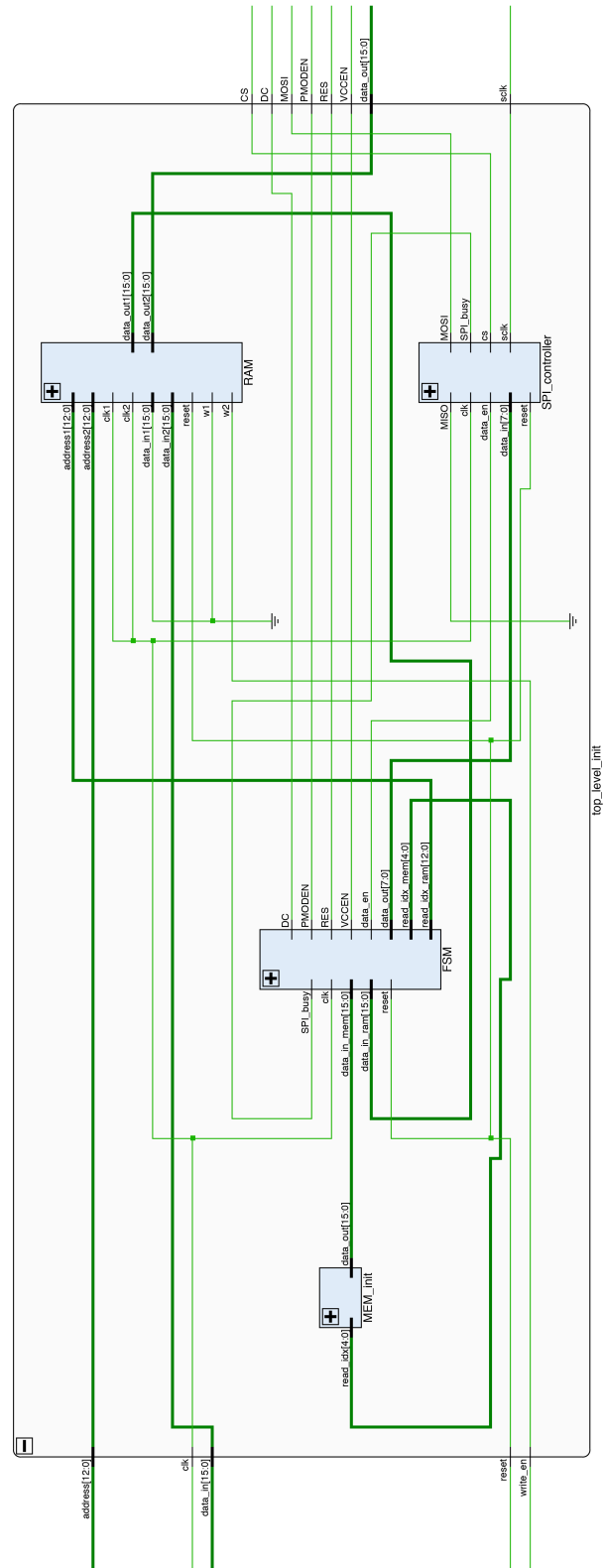


FIGURE 11 – Schematic du module de contrôle du PMOD OLEDrgb



## 4 Conclusion

## Références

- [1] OLED Wikipedia page for definitions

<https://en.wikipedia.org/wiki/OLED>

- [2] Datasheet du SSD1331, contrôleur de matrice de points OLED/PLED

[https://www.parallax.com/sites/default/files/downloads/28087-SSD1331\\_1.2.pdf](https://www.parallax.com/sites/default/files/downloads/28087-SSD1331_1.2.pdf)

- [3] OLEDrgb Pmod reference sheet and Datasheet

*Pmod OLEDrgb Reference Manual.*

[https://reference.digilentinc.com/reference/pmod/pmodoledrgb/reference-manual#pinout\\_description\\_table](https://reference.digilentinc.com/reference/pmod/pmodoledrgb/reference-manual#pinout_description_table)

Digilent, as of January 30, 2017

- [4] Digilent SPI protocol information

[https://reference.digilentinc.com/pmod/communication\\_protocols/spi](https://reference.digilentinc.com/pmod/communication_protocols/spi)

- [5] Definition of Serial Peripherals Interface Bus and how it works

<https://web.archive.org/web/20150413003534/http://www.ee.nmt.edu/~teare/ee308l/datasheets/S12SPIV3.pdf>

Motorola, Inc. , Original Release Date : January 21, 2000, Revised : February 04, 2003